

Динамическое выравнивание многомерных временных рядов*

Гончаров А. В., Моргачев Г. И., Смирнов В., Липницкая Т.

morgachev.gi@phystech.edu, smirnov.vs@phystech.edu, tanya.lipnizky@yandex.ru

МФТИ

В работе решается задача выбора оптимальной функции расстояния между наборами временных рядов с общей осью времени. Стандартный подход к определению расстояния между наборами основан на использовании стоимости выравнивающего пути, полученного в процессе динамического выравнивания временных осей друг относительно друга. **Мб не здесь?** Определенная таким образом функция расстояния будет называться *функцией стоимости* выравнивания наборов рядов. Обобщение алгоритма выравнивания на случай наборов, состоящих более чем из одного ряда предполагает использование *функции расстояния* между точками двух наборов, представляющих собой элементы пространства размерности больше единицы.

В работе рассмотрены функции стоимости, полученные на основе выбора различных функций расстояния между точками наборов. Анализ полученных функций стоимости проведен на примере решения задач метрической кластеризации и метрического поиска эталонной подпоследовательности для многомерных наборов рядов. Работа также предлагает модификацию оптимизированного алгоритма вычисления функции стоимости выравнивания рядов, позволяющую проводить её вычисления для наборов. Результаты моделирования представлены на основе размеченных данных о деятельности человека полученных с носимого устройства, а также данных о движении руки в процессе написания текста, полученных с графического планшета.

Обоснованность метрического подхода к решению задачи демонстрируется путем сравнения с результатами на основе авторегрессионной модели.

Ключевые слова: *временные ряды, многомерные временные ряды, DTW.*

1 Введение

В целях применения алгоритмов машинного обучения для решения задач, входные данные которых представлены временными рядами, появляется необходимость определения на них функции расстояния. При этом, поточечный подход, зачастую, является малоинформативным в связи с возможными деформациями оси времени: сдвигами и растяжениями [1]. Одним из способов решения этой проблемы является выравнивание временных рядов (DTW) [2] и его модификаций [3, 4]. Данный подход позволяет найти оптимальный выравнивающий путь между рядами, деформированными друг относительно друга описанными выше способами [5]. Стоимость выравнивающего пути может быть использована в качестве расстояния между выравниваемыми объектами. **Мб не здесь?->** Определенная таким образом функция расстояния будет называться *функцией стоимости* выравнивания рядов.

Однако, в большинстве промышленных задач измерения в каждый имеют более одного канала. Такие данные могут быть представлены в виде *наборов временных рядов* с общей осью времени, между которыми также встает вопрос об определении функции расстояния. Наборы временных рядов будет обозначаться $X = \{X^1, \dots, X^l\}$, каждый $X^i \in \mathbb{R}^n$ – временной ряд длины n .

* Работа выполнена при финансовой поддержке РФФИ, проект №00-00-00000. Научный руководитель: Гончаров А. В. Задачу поставил: Гончаров А. В. Консультант: Гончаров А. В.

Модификации алгоритма выравнивания на случай подобных данных описано в [6, 7]. В работе [6] предлагается способ выравнивания наборов рядов, основанный на нормализации исходных данных и нахождении векторной нормы. ~~не надо~~ В [7] рассматривается алгоритм, позволяющий выполнить выравнивание временных рядов между соответственными рядами из двух наборов независимо друг от друга.

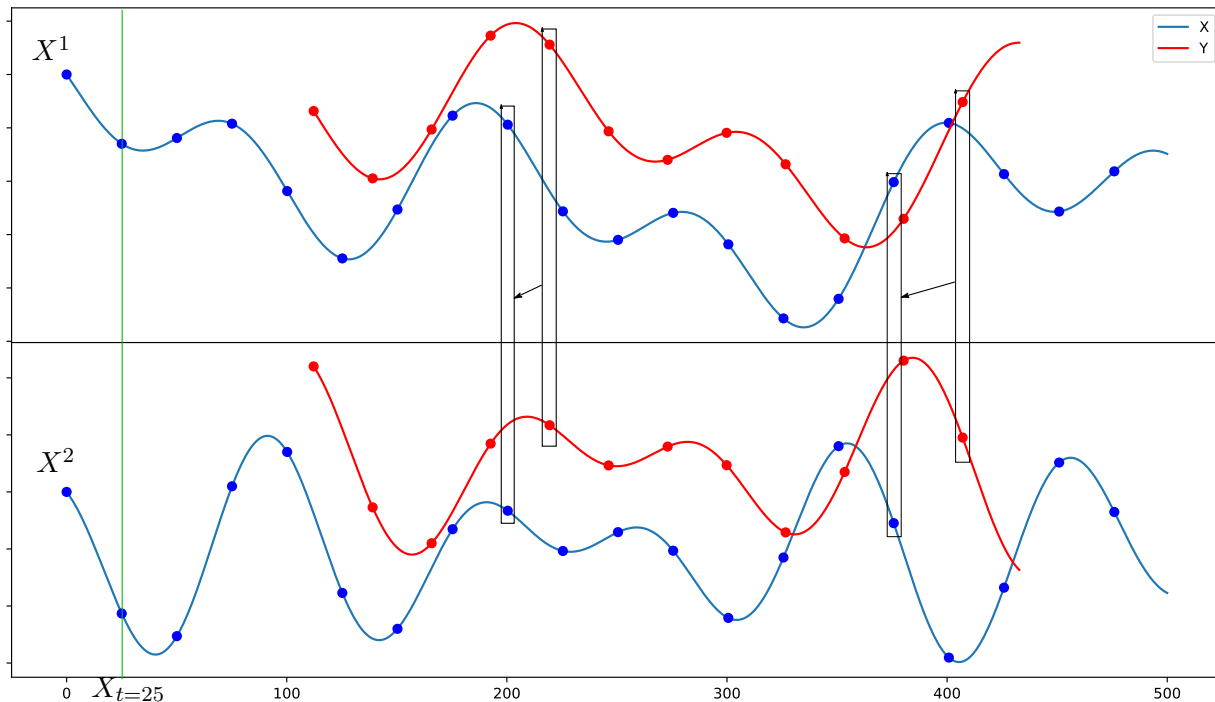


Рис. 1 Иллюстрация выравнивания

В ходе классического алгоритма выравнивания рядов [?] вычисляются расстояния между точками выравниваемых рядов. Точкой набора временных рядов в момент t обозначим $X_t = \{X_t^1, \dots, X_t^l\}$, где X_t^i – измерения i -го временного ряда в момент времени t . Таким образом, точка набора из l временных рядов принадлежит пространству \mathbb{R}^l . На рисунке 1 зеленой линией обозначена точка набора из двух временных рядов при $t = 25$.

Аналогично, при выравнивании наборов относительно общей временной оси, вычисляются расстояния между соответственными точками наборов. При этом получаемая функция стоимости будет зависеть от выбора функции расстояния между точками. На рисунке 1 стрелками соединены примеры сравниваемых точек, которые должны совпасть после выравнивания.

В работе решается задача выбора оптимальной функции стоимости выравнивания наборов временных рядов с общей осью времени. Сравниваются функции расстояния между точками, порожденные L_1 , L_2 нормами, а также косинусное расстояние.

Для измерения качества полученных функций стоимости решаются две задачи: поиска паттернов и кластеризации, решаемые метрическими методами. Поиск паттернов происходит путем нахождения наиболее близкого участка к искомому паттерну. Основой решения задачи кластеризации является метрическая иерархическая кластеризация, дающая хорошие результаты при кластеризации временных рядов [8, 9].

В ходе эксперимента, предложенный подход был продемонстрирован на задачах поиска приступов эпилепсии [10] и распознавания рукописных букв [11] для поиска паттернов,

а также измерениях акселеромента телефона в кармане человека при различной деятельности [12].

Кроме того, было произведено сравнению полученных результатов с результатами другого подхода к работе с временными рядами – сравнению коэффициентов их регрессионных моделей.

2 Постановка задачи выбора функции стоимости

Изучается влияния выбора функции расстояния между точками наборов временных рядов на результат работы DTW на примере двух задач:

- 1) Поиск шаблонов в наборе временных рядов
- 2) Кластеризация наборов временных рядов

Для каждой из которых введены свои метрики качества $Q_{\text{поиска}}$, $Q_{\text{класт.}}$, соответственно.

Определение 1. Набором временных рядов называется множество $X = \{X^1, \dots, X^l\}$, где каждый $X^i \in \mathbb{R}^n$ – временной ряд длины n .

Определение 2. Точкой набора из l временных рядов называется вектор $X_t = \{X_t^1, \dots, X_t^l\} \in \mathbb{R}^l$, в котором каждой из координат соответствует значение соответствующего временного ряда в момент времени t .

Имеется множество функций расстояния между \mathfrak{X} :

$$\mathfrak{X} = \{\rho : \mathbb{R}^l \times \mathbb{R}^l \rightarrow \mathbb{R}_+\}$$

Каждой функции расстояния ρ между векторами соответствует функция стоимости оптимального выравнивающего пути, получение которого описано в 1. Множество таких функций расстояния между наборами временных рядов из множества \mathfrak{X} :

$$\text{DTW}_\rho : \mathfrak{X} \times \mathfrak{X} \rightarrow \mathbb{R}_+.$$

Рассматриваются следующие функций расстояния между векторами X_t, Y_τ :

- 1) $\rho_{L_1}(X_t, Y_\tau) = \sum_{i=1}^l |X_t^i - Y_\tau^i|;$
- 2) $\rho_{L_2}(X_t, Y_\tau) = \sqrt{\sum_{i=1}^l (X_t^i - Y_\tau^i)^2};$
- 3) $\rho_{\text{cosine}}(X_t, Y_\tau) = 1 - \frac{(X_t, Y_\tau)}{\sqrt{(X_t, X_t)}\sqrt{(Y_\tau, Y_\tau)}}.$

Рассматривается задача выбора оптимальной функции расстояния между точками относительно внешних критериев качества $Q_{\text{поиска}}$, $Q_{\text{класт.}}$, описанных в 1, 1

$$\rho_i^* = \arg \max_{\rho} Q_i(\rho)$$

Кроме того, производится сравнения качества и скорости работы данного подхода с другими используемыми методами:

- 1) Функция расстояния на основе поточечных расстояний между рядами, при равным длинах рядов:

$$ED(X, Y) = \sum_{i=1}^l \|X^i - Y^i\|_2$$

- 2) Применение авторегрессионной модели для описания ряда.

3 Алгоритм выравнивания DTW

В данной работе в качестве метрического расстояния между объектами предлагается использовать стоимость *пути наименьшей стоимости* между объектами.

Задано два набора временных рядов, X, Y длины n . В ходе алгоритма требуется построить матрицу размера $n \times n$ с элементами $D_{ij} = \rho(X_i, Y_j)$, где ρ – выбранная функция расстояния, X_i, Y_j – точки наборов рядов.

Для нахождения максимального соответствия между наборами рядов строится *выравнивающий путь* W , который минимизирует расстояние между ними.

Определение 3. Путь $W = [w_1, \dots, w_K]$ представляет собой упорядоченное множество пар индексов элементов матрицы D , $w_m = (i, j)_m$, при этом K – длина пути. Кроме того, путь должен удовлетворять следующим условиям:

- 1) Граничные условия: $w_1 = (1, 1)$, $w_K = (n, n)$
- 2) Непрерывность: $w_k = (i, j)$, $w_{k-1} = (i', j')$: $i - i' \leq 1$, $j - j' \leq 1$. Это ограничение означает, что в пути могут участвовать только соседние элемента матрицы.
- 3) Монотонность: $w_k = (i, j)$, $w_{k-1} = (i', j')$: $i - i' \geq 0$, $j - j' \geq 0$. Это ограничение гарантирует, что путь не возвращается к пройденной точке.

Определение 4. Стоимостью пути W называется сумма всех соответствующих элементов матрицы:

$$\text{cost}(X, Y, W) = \sum_{(i,j) \in W} D_{ij}$$

Определение 5. Оптимальным выравнивающим путем между наборами временных рядов X, Y называется путь минимальной стоимости.

$$\text{DTW}(X, Y) = W^* = \arg \min_W \text{cost}(W)$$

Построение оптимального выравнивающего пути методом DTW проводится с помощью рекуррентной процедуры:

$$\begin{aligned} \gamma_{1j} &= D_{1j}, \quad \gamma_{i1} = D_{i1}; \\ \gamma(i, j) &= D_{ij} + \min(\gamma(i-1, j-1), \gamma(i-1, j), \gamma(i, j-1)). \end{aligned}$$

Здесь $\gamma(i, j)$ суммарное расстояние, D_{ij} – расстояние в текущей клетке. Элемент γ_{ij} заданной таким образом матрицы γ равен стоимости выравнивающего пути между первыми i и j точками X и Y соответственно.

Дополнительным ограничением, позволяющим значительно ускорить вычисление DTW, является использование полосы Сако-Чибя – определение максимально возможного числа клеток отклонение от диагонали.

4 Задача поиска паттернов

Рассматривается задача поиска заранее известных паттернов в наборах временных рядов. Имеется набор временных рядов X длины n , содержащий сегменты класса \mathfrak{P} . Класс \mathfrak{P} – в нашем случае, набор временных рядов длины $m \ll n$.

Определение 6. Под паттерном класса \mathfrak{P} будет подразумевать матожидание ряда из данного класса.

Известно k представителей класса \mathfrak{P} , не содержащихся в X . Необходимо найти участки S , соответствующие данному классу. Обозначим множество начал таких участков как $\mathfrak{T} = \{t_1, \dots, t_j\}$.

Будем считать участок найденным, если его пересечение с предполагаемым участком более 80% длины m . Поиск будет проводиться путем нахождения расстояния с помощью DTW_ρ между фрагментами набора рядов X и шаблоном, полученным из известных экземпляров класса.

Рассматриваемая функция качества:

$$Q_{\text{поиска}}(DTW_\rho) = \frac{\sum_{i=1}^j [t_i - \text{найден}]}{j}.$$

В ходе эксперимента производилось определение паттернов классов двумя разными способами: путем покомпонентного усреднения известных представителей класса, а также с использованием алгоритма усреднения DBA [13], в процессе которого также производилось выравнивание временных осей наборов рядов из класса.

5 Задача кластеризации

Исходные данные представляют собой наборы временных рядов длины n . Имеется выборка \mathfrak{X} из N элементов. Для каждого элемента выборки X известна метка класса $y \in \mathfrak{Y}$, где \mathfrak{Y} – множество меток классов.

Определим матрицу попарных расстояния:

$$D(DTW_\rho(\mathfrak{X})) = ||D_{ij}||, \quad D_{ij} = DTW_\rho(X, Z), \quad X, Z \in \mathfrak{X}.$$

И модель кластеризации:

$$f : D \rightarrow \mathfrak{S}^N$$

Где \mathfrak{S} – множество меток кластеров. Будем рассматривать следующие функции качества:

$$Q_{\text{поиска1}}(f(D), \mathfrak{X}) = \frac{1}{|S|} \sum_{s \in \mathfrak{S}} \max_y \frac{N_s^y}{N_s}$$

$$Q_{\text{поиска2}}(f(D), \mathfrak{X}) = \frac{1}{|\mathfrak{S}|} \sum_{s \in \mathfrak{S}} \max_y \frac{(N_s^y)^2}{N_s N^y}$$

Здесь:

- N_s – количество элементов в кластере с меткой s .
- N^y – количество элементов в классе y .
- N_s^y – количество элементов класса y в классе s .

5.1 Описание алгоритма кластеризации

В качестве алгоритма кластеризации используется иерархическая кластеризация, которая базируется на последовательном слиянии ближайших кластеров. Рассматриваются различные функции расстояния между кластерами:

1. *complete*: $d(A, B) = \max_{a \in A, b \in B} (dist(a, b))$
2. *weighted*: $d(A, B) = \frac{(dist(S, B) + dist(T, B))}{2}$, где кластер $A = S \cup T$

$$3. \text{ average: } d(A, B) = \sum_{a \in A, b \in B} \frac{d(a, b)}{(|A| * |B|)}$$

6 Оптимизации

Раздел в разработке

В основу реализации легла работа [14], в которой было использовано большое количество оптимизаций, позволяющих как сократить время вычисления расстояния между рядами, так и, при возможности, вообще не вычислять его. В ходе работы была произведена попытка обобщить данные оптимизации на случай наборов рядов. Ниже приведено их краткое описание.

6.1 Использование квадрата расстояния

В DTW вычисляется производится вычисление квадратного корня, однако, если упустить этот шаг, относительное расстояние не изменится, поскольку обе функции монотонны и вогнуты. Это упрощает вычисления и позволяет сделать модель легкой для понимания. Таким образом, говоря о DTW, мы подразумеваем квадратные аналоги.

6.2 Использование нижней границы

Для ускорения поиска паттернов с использованием DTW используется оценка снизу на стоимость выравнивающего пути. Данный прием позволяет отбрасывать неподходящие последовательности без дорогостоящего вычисления выравнивающего пути.

В эксперименте используется каскадная нижняя граница. Вначале последовательность проходит проверку на требования LB_{Kim} [15], которая использует расстояние между максимальными и минимальными длинами точек наборов рядов.

Однако, для того чтобы сравнить последовательности, они должны быть нормализованы, поэтому значения двух расстояний между максимальными и минимальными точками могут быть ничтожно малы. В случае если последовательность удовлетворила требованиям LB_{Kim} , происходит вторичная проверка LB_{Keogh} , использующей ED.

Также бывает полезным менять роли сравниваемых последовательностей для LB_{Keogh} , от этого будет меняться решение к какой последовательности применяется нижняя граница, причем результаты вычисления этих границ для каждой из последовательностей при их сравнении в общем случае не будут равны. Однако данный метод применяется опционально и только в том случае, если другие нижние границы не проявили себя.

6.3 Использование верхней границы

При вычислении LB_{Keogh} , мы можем заметить, что текущая сумма расстояний между каждой парой точек превысила определённое (наибольшее возможное) значение, в таком случае мы можем прекратить подсчёт, так как дальнейший действия дадут ещё более высокий результат.

Если вся LB_{Keogh} была посчитана и мы обнаружили, что должны вычислить DTW полностью, есть способ отбросить лишние вычислительные затраты на стадии подсчёта DTW. Если постепенно вычислять DTW слева направо от 1 до k и суммировать частичное накопление DTW с вкладом от LB_{Keogh} от k + 1 до n. Сумма $DTW(S_{1:k}^i, S_{1:k}^j) + LB_{Keogh}(S_{k+1:n}^i, S_{k+1:n}^j)$ является нижней границей для $DTW(S_{1:n}^i, S_{1:n}^j)$. Если в какой-то момент такая нижняя граница превысит верхнюю, расчёт прекращается. Кроме того, расходы на расчёт такой границы незначительны.

Во многих случаях становится полезным изменить порядок поиска верхней границы. Очевидно, что разный порядок поиска приносит разное ускорение, более того существует n! вариантов упорядочивания. Для нахождения оптимального варианта, предлагается

сортировать индексы основываясь на абсолютных значениях Z -нормализованных наборов рядов.

7 Эксперимент

7.1 Нахождение подпоследовательностей

Использовались две выборки, первая из которых состояла из временных рядов длиной в 182 точки с тремя каналами, соответствующих координатам X, Y и силе нажатия на экран планшета. Вторая выборка состояла из временных рядов активности мозга в разных состояниях: эпилепсия, ходьба, бег, просмотр картинок и имеет длину элемента в 206 точек. Второй датасет имел многократно меньший размер, но при этом он значительно отличается от первого: периоды повторения паттернов значительно меньше.

В обеих выборках из каждого класса выбиралось случайное подмножество представителей, из которых, путем усреднения методами *DBA* и простым средним, получались поисковые шаблоны. Путем склейки оставшихся рядов в случайном порядке, создавался длинный ряд, в котором производился поиск k наиболее близких фрагментов для каждого из шаблонов с использованием ED и DTW_ρ с различными ρ в качестве функций расстояния.

Для оценки погрешностей измерений, описанная процедура была проведена с большим количеством (20) выборок, полученными из исходной с помощью бутстрепа.

ρ	average	characters			epi		
		Q	t	$t_{no\ optim}$	Q	t	$t_{no\ optim}$
L_1	DBA	0.83 ± 0.14	2.85 ± 0.43	11 ± 1	0.53 ± 0.10	26 ± 1	25 ± 1
	mean	0.87 ± 0.12	2.77 ± 0.45	14 ± 1	0.49 ± 0.08	26 ± 1	28 ± 2
L_2	DBA	0.80 ± 0.17	2.24 ± 0.30	13 ± 1	0.55 ± 0.07	23 ± 1	26 ± 2
	mean	0.84 ± 0.13	2.17 ± 0.22	10 ± 1	0.48 ± 0.10	23 ± 1	26 ± 2
cosine_dist	DBA	0.77 ± 0.18	3.42 ± 1.00	16 ± 1	0.35 ± 0.10	29 ± 2	38 ± 2
	mean	0.81 ± 0.15	3.43 ± 0.83	14 ± 1	0.27 ± 0.06	26 ± 2	38 ± 1
ED	DBA	0.08	17.511	17.511	0.172	1.620	1.620
	mean	0.09	17.645	17.645	0.172	1.540	1.540

Таблица 1 Поиск паттернов.

Можно заметить, что на всех данных использование L_1 метрики дало лучшие результаты в данной задаче. При этом оптимизации позволили сократить время работы в более чем 5 раз на большом датасете (цифры), но незначительно в малом, при этом сохранив результаты.

7.2 Кластеризация

В ходе эксперимента были использованы данные акселерометра мобильного телефона. Они представляли собой временные ряды длиной в 600 точек ускорений по осям X, Y, Z . Из них методом бутстрепа были сгенерированы 20 выборок из 600 рядов по 50 точек в каждом. Каждых из рядов принадлежал к одному из четырёх возможных классов. Данные были равномерно распределены по всем классам.

Для DTW , ED вычислялись матрицы попарных расстояний между парами рядов, на основе которых проводилась кластеризация описанными выше методами. В качестве функций расстояния между векторами использовались метрики, порождённые L_1 и L_2 нормами. Кроме того, для каждого из временных рядов была обучена авторегрессионная модель, на основе коэффициентов которых также произведена кластеризация. Так как в процессе получения данных были возможны различные положения телефона в кармане, кластеризация проводилась на 4, 12, 24, 36 и 48 кластеров.

ρ	N_{clust}	Q_1			Q_2		
		<i>complete</i>	<i>average</i>	<i>weighted</i>	<i>complete</i>	<i>average</i>	<i>weighted</i>
L_1	4	0.42 ± 0.07	0.51 ± 0.07	0.55 ± 0.06	0.22 ± 0.09	0.31 ± 0.10	0.36 ± 0.09
	12	0.46 ± 0.09	0.54 ± 0.04	0.57 ± 0.04	0.24 ± 0.05	0.33 ± 0.05	0.36 ± 0.05
	24	0.50 ± 0.03	0.57 ± 0.03	0.59 ± 0.03	0.28 ± 0.03	0.36 ± 0.04	0.38 ± 0.04
	36	0.55 ± 0.02	0.60 ± 0.02	0.61 ± 0.03	0.33 ± 0.03	0.40 ± 0.03	0.41 ± 0.05
	48	0.58 ± 0.02	0.63 ± 0.02	0.64 ± 0.03	0.37 ± 0.03	0.43 ± 0.03	0.44 ± 0.04
L_2	4	0.42 ± 0.06	0.47 ± 0.07	0.54 ± 0.06	0.22 ± 0.07	0.26 ± 0.09	0.35 ± 0.09
	12	0.46 ± 0.04	0.53 ± 0.04	0.59 ± 0.04	0.25 ± 0.05	0.32 ± 0.05	0.39 ± 0.05
	24	0.50 ± 0.03	0.57 ± 0.03	0.59 ± 0.03	0.28 ± 0.03	0.35 ± 0.04	0.39 ± 0.03
	36	0.54 ± 0.03	0.60 ± 0.03	0.62 ± 0.03	0.33 ± 0.03	0.40 ± 0.04	0.42 ± 0.03
	48	0.58 ± 0.02	0.63 ± 0.03	0.64 ± 0.03	0.37 ± 0.03	0.43 ± 0.04	0.46 ± 0.04
AR	4	0.52 ± 0.06			0.32 ± 0.08		
	12	0.61 ± 0.05			0.42 ± 0.06		
	24	0.67 ± 0.05			0.51 ± 0.07		
	36	0.70 ± 0.03			0.55 ± 0.05		
	48	0.73 ± 0.03			0.59 ± 0.05		

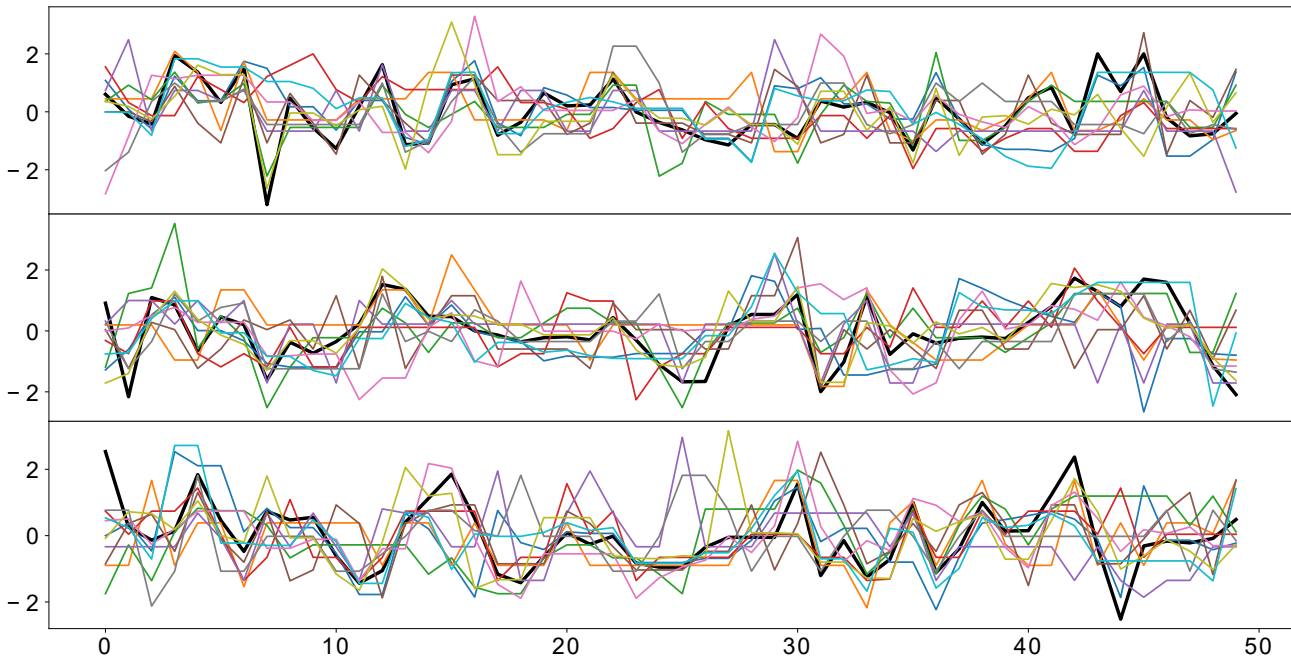
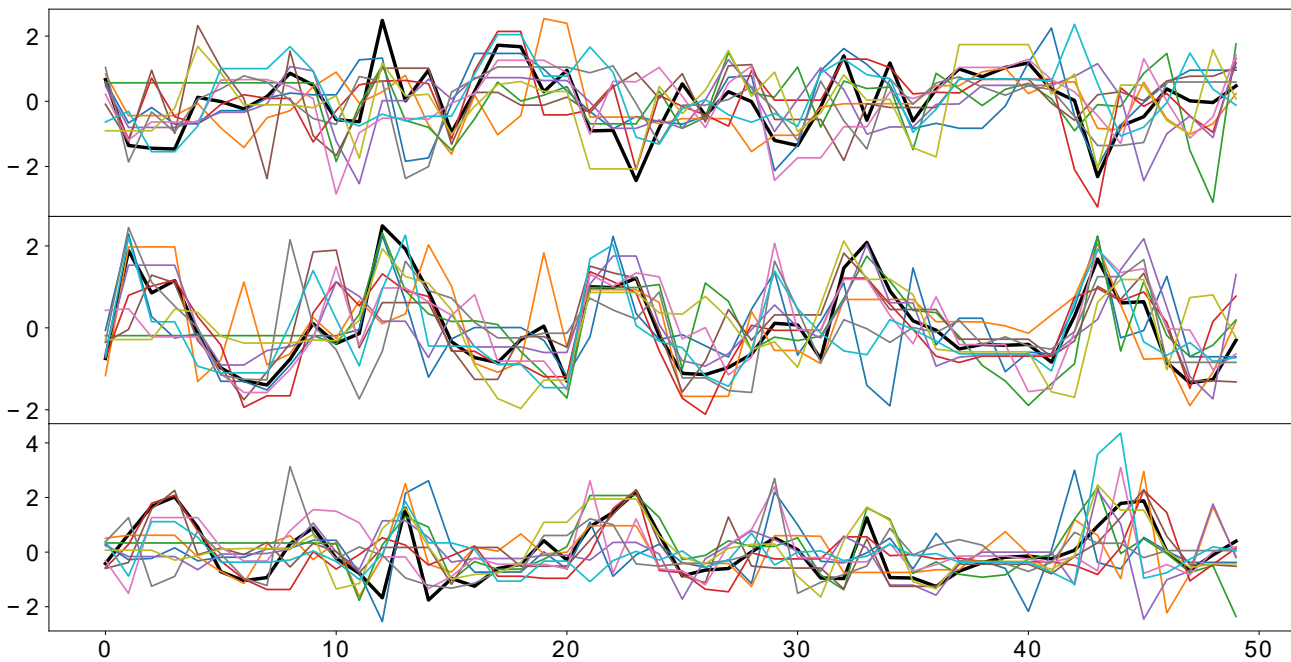
Таблица 2 Кластеризация.

В большинстве случаев лучшие результаты показал метод кластеризации *weighted*. При этом, методы выравнивания с L_1 и L_2 метриками показали примерно равные результаты. Простейшая регрессионная модель позволила достичь лучшего качества во всех экспериментах.

На картинках 2, 3 приводятся примеры рядов, отнесенных к одному кластеру, выравненных относительно случайного набора рядов из данного кластера для L_1 и L_2 метрик соответственно. Кластеризация в данных примерах проводилась с помощью метода *weighted*.

Литература

- [1] Hui Ding, Goce Trajcevski, Peter Scheuermann, Xiaoyue Wang, and Eamonn Keogh. *Querying and mining of time series data: Experimental comparison of representations and distance measures*, volume 1, pages 1542–1552. 2 edition, 8 2008.
- [2] Eamonn J. Keogh and Michael J. Pazzani. Scaling up dynamic time warping to massive dataset. In *Proceedings of the Third European Conference on Principles of Data Mining and Knowledge Discovery*, PKDD '99, pages 1–11, London, UK, UK, 1999. Springer-Verlag.
- [3] Stan Salvador and Philip Chan. Toward accurate dynamic time warping in linear time and space. *Intell. Data Anal*, 11(5):561–580, 2007.

Рис. 2 Кластеризация с L_1 Рис. 3 Кластеризация с L_2

- [4] Eamonn J. Keogh and Michael J. Pazzani. Derivative dynamic time warping. In *SIAM International Conference on Data Mining*, 2001.
- [5] Stan Salvador and Philip Chan. Fastdtw: Toward accurate dynamic time warping in linear time and space. In *KDD workshop on mining temporal and sequential data*. Citeseer, 2004.
- [6] G.A. ten Holt, M.J.T. Reinders, and E.A. Hendriks. Multi-dimensional dynamic time warping for gesture recognition. In *Thirteenth annual conference of the Advanced School for Computing and Imaging*, 2007.

- [7] Parinya Sanguansat. Multiple multidimensional sequence alignment using generalized dynamic time warping. 2012.
- [8] T. Warren Liao. Clustering of time series data—a survey. *Pattern Recognition*, 38(11):1857 – 1874, 2005.
- [9] Saeed Aghabozorgi, Ali Seyed Shirkhorshidi, and Teh Ying Wah. Time-series clustering – a decade review. *Information Systems*, 53:16 – 38, 2015.
- [10] Jose Villar, PULA VERGARA, Manuel Menéndez González, Enrique Marín, VÍCTOR M. GONZÁLEZ, and Javier Sedano. Generalized models for the classification of abnormal movements in daily life and its applicability to epilepsy convulsion recognition. *International Journal of Neural Systems*, 26, 04 2016.
- [11] Ben H. Williams, Marc Toussaint, and Amos J. Storkey. Extracting motion primitives from natural handwriting data. In Stefanos Kollias, Andreas Stafylopatis, Włodzisław Duch, and Erkki Oja, editors, *Artificial Neural Networks – ICANN 2006*, pages 634–643, Berlin, Heidelberg, 2006. Springer Berlin Heidelberg.
- [12] Jennifer R. Kwapisz, Gary M. Weiss, and Samuel A. Moore. Activity recognition using cell phone accelerometers. *SIGKDD Explor. Newsl.*, 12(2):74–82, March 2011.
- [13] François Petitjean, Alain Ketterlin, and Pierre Gançarski. A global averaging method for dynamic time warping, with applications to clustering. *Pattern Recognition*, 44(3):678–693, 2011.
- [14] Thanawin Rakthanmanon, Bilson Campana, Abdullah Mueen, Gustavo Batista, Brandon Westover, Qiang Zhu, Jesin Zakaria, and Eamonn Keogh. Searching and mining trillions of time series subsequences under dynamic time warping. In *Proceedings of the 18th ACM SIGKDD International Conference on Knowledge Discovery and Data Mining*, KDD '12, pages 262–270, New York, NY, USA, 2012. ACM.
- [15] Sang-Wook Kim, Sanghyun Park, and Wesley W. Chu. An index-based approach for similarity search supporting time warping in large sequence databases. *Proceedings - International Conference on Data Engineering*, pages 607–614, 1 2001.